

## Повышение активности AM Геркулеса в 1986 году.

В.П. Смыков.

Increase of the activity in AM Herculis in 1986. by V.P. Smykov.

Ранее нами отмечался спад активности AM Her в 1984–85 годах, который характеризуется падением среднего блеска, напоминающим затухающие колебания (Смыков, Шакун, 1986). Этот процесс начался еще в 1982–83 годах, тогда еще мало заметный.

В 1986 году нами было получено еще около 180 наблюдений в системе В. Орбитальные изменения блеска очень нестационарны. Затмения наблюдаются весьма неуверенно, но по некоторым кривым блеска удалось определить моменты минимумов. Они приводятся в таблице. Там же даны уклонения ( $O-C$ ) от элементов Айронова и др. (1980), амплитуды орбитальных кривых блеска и средний блеск.

Таблица.

Max JD	(O-C)	A	$\bar{m}$	Max JD	(O-C)	A	$\bar{m}$
2446...				2446...			
528.483	-0.006	1.16	15.49	600.445	+0.014	0.80	14.46
530.455	+0.032	0.58	15.55	601.456	-0.006	0.66	14.34
579.506	-0.038	0.48	14.14	602.480	-0.013	0.42	14.6
581.511	+0.033	0.62	14.60	605.464	+0.005	0.52	14.4
598.516	+0.019	0.42	13.8				

До июня система находилась в неактивном состоянии, как и большую часть 1985 года. В начале июня (JD 2446578) за 1–2 дня блеск увеличился на 1<sup>m</sup>, то есть произошел переход в переходное состояние, в котором AM Her находилась вплоть до конца ноября, за исключением 20 дней июля, когда блеск вновь падал до 15.<sup>m</sup>5. Как уменьшение, так и увеличение блеска происходило всего за несколько дней.

По данным Фейгельсона и др. (1978) с 1894 года большую часть времени AM Her находилась в активном состоянии. Неактивные состояния продолжались, как правило, не более 200 дней, но иногда превышали и 1000 дней. Последний раз длительное неактивное состояние наблюдалось в 1949–51 годах и продолжалось около 1200 дней.

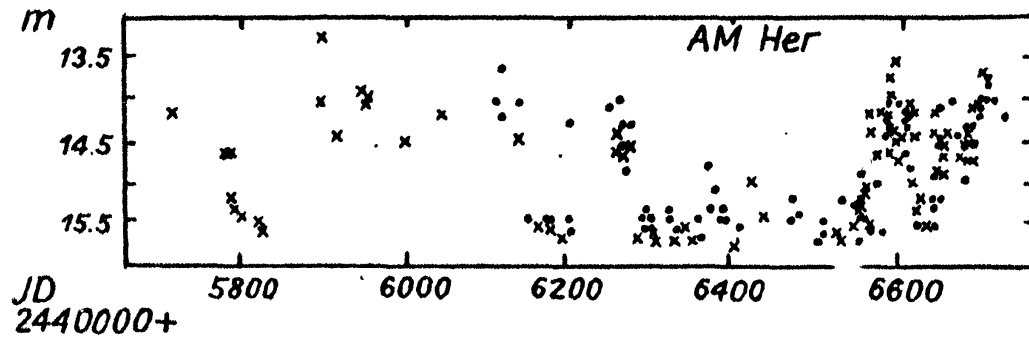


Рис. 1. Кривая среднего блеска AM Her в 1984–86 годах. Крестиками нанесены наблюдения автора, точками — наблюдения Гётца (1986а, 1986б).

Наблюдаемая в настоящее время низкая активность длится уже порядка 1100 дней, так как последнее активное состояние было в 1983 году. На рисунке 1 приводится кривая среднего блеска за 1984–86 годы. Использованы также данные из работ Гётца (1986а, 1986 б).

Наблюдения 1986 года показывают возможное начало повышения активности. Если в ближайшее время АМ Нег выйдет в активное состояние, крайне интересно было бы сравнить ее фотометрическое поведение с наблюдавшимся до длительного спада активности.

#### Л и т е р а т у р а .

Андронов и др., 1980— Андronov I.L., Васильева С.В., Цесевич В.П., АИ № 1122.

Гётц, 1986а— Götz W., IBVS No. 2851.

Гётц, 1986б— Götz W., IBVS No. 2967,

Смыков В.П., Шакун Л.И., 1986, АИ № 1461, 3.

Фейгельсон и др., 1978—Feigelson E., Dexter L., Liller W., ApJ 222, 263.

*Астрофизическая обсерватория Кишиневского государственного университета.*

#### Анализ изменений блеска V616 Единорога (A 0620–00) во время вспышки 1975–76 годов.

Н.Е. Курочкин,\* Е.А. Кацкая\*\*, Н.Г. Бочкарёв \*.

Analysis of V616 Monocerotis/A 0620–00 brightness variation during the 1975–76 outburst, by N.E. Kurochkin, E.A. Karitskaya and N.G. Bochkarev.

#### I. Введение.

А 0620–00 — рентгеновская и оптическая Новая (вспышки 1917 и 1975 г.), кандидат в черные дыры (Мак-Клинток и Ремиллард, 1986, Кацкая и Бочкарёв, 1987). Орбитальный период  $P_{\text{орб}} = 7^{\text{d}}.8$ . В спокойном состоянии кривая блеска формируется эффектами эллипсоидальности звезды класса K4–7V, заполняющей  $\mu = 0.85$  полости Роша, находящейся в поле тяжести объекта с массой  $M_x \sim 4.5 M_{\odot}$  на расстоянии  $a = 4 \cdot 10^{11} \text{ см}$  от центра звезды, и частными затмениями темными внешними частями аккреционного диска (переменного радиуса  $R_d \sim 1.3 \cdot 10^{11} \text{ см}$ ). Угол наклона системы  $i \approx 77^{\circ}$ . В максимуме вспышки 1975 г. V616 Mon достигала  $B = 11^m.2$ ,  $L_x = 1.3 \cdot 10^{38} \text{ эрг/с}$  (при  $d = 1 \text{ кpc}$  (Элвис и др., 1975)).

#### II. Анализ наблюдений.

1. По фотоэлектрическим наблюдениям 1975–76 годов (по сводке Веббинга, 1978) построена сводная кривая блеска V616 Mon на спаде блеска после максимума авг. 1975 г. (рис. 1).

2. Спад блеска (на некоторых участках — линейный в шкале звездных величин) происходил с задержками и локальными максимумами, которые обычно соответствовали вспышкам в рентгеновском диапазоне (вблизи JD 2442655 и 42686), когда наблюдалось также поголубение (уменьшение  $(B - V)$ ).